

МЕТОДИКА НАУЧНЫХ ИССЛЕДОВАНИЙ

УДК 551.4(571.1)

А. Н. ЛАСТОЧКИН, И. А. ОДЕССКИЙ

**ГАРМОНИЧЕСКИЙ АНАЛИЗ ГИПСОМЕТРИЧЕСКИХ ПРОФИЛЕЙ
С ЦЕЛЬЮ ВЫЯВЛЕНИЯ ВОЛНООБРАЗНЫХ ДЕФОРМАЦИЙ**
(на примере Западно-Сибирской равнины)

Среди различных типов тектонических движений к настоящему времени довольно уверенно выделяются вертикальные волнообразные перемещения земной коры, создающие сопряженные друг с другом синусоидально построенные зоны поднятий и опусканий (Хайн, 1964). Этот тип тектогенеза называли тангенциальными движениями (А. П. Карпинский), колебательными движениями геотектонического типа (М. М. Тетяев), регмагенезом (Р. Зондер), диктиогенезом (С. Н. Бубнов), волновыми (В. Е. Хайн) и волнообразно-колебательными рельефообразующими (Ю. А. Мещеряков) движениями. Созданные ими волнообразные деформации устанавливаются как при анализе древних фаций и структурных планов (Карпинский, 1947; Хайн, 1964 и др.), так и в результате исследований новейшей структуры и современного рельефа (Хайн, 1964; Мещеряков, 1962, 1965 и др.).

Наиболее отчетливо волнообразные деформации проявляются в молодом аккумулятивном рельефе платформенных равнин, так как в их пределах, в отличие от областей с древним денудационным рельефом, нет наложения разновозрастных волновых движений, и новейший структурный план представлен закономерно расположенным одновозрастными поднятиями и прогибами диагональной и ортогональной систем при явном преобладании последней. Именно поэтому впервые были обнаружены и закартированы выраженные в рельефе линейно вытянутые деформации на таких территориях, как север Русской платформы (Ламакин, 1945; Афанасьев, 1961 и др.), Западно-Сибирская плита (Сакс, 1953; Мещеряков, 1962, 1965 и др.), Скифская плита (Гниловский, 1956; Горелов, 1966 и др.) и Прикаспийская синеклиза (Эвентов и Проничева, 1967; Троцюк, 1967 и др.). Однако волнообразные деформации присущи не только этим территориям, но и платформенным равнинам с иным характером новейшей геологической истории, а также орогенным и современным геосинклинальным областям (Мещеряков, 1965).

Перед авторами статьи стояла задача доказать наличие волнообразных деформаций, выявить их характеристики и взаимное расположение путем гармонического анализа гипсометрических профилей в пределах северной и центральной частей Западно-Сибирской равнины, где развит молодой аккумулятивный рельеф, созданный в результате накопления мощной толщи морских и озерных осадков и последующей регрессии плиоцен-четвертичного (Ямальского) бассейна (Кузин, Чо-

чия, 1965). Построенные на крупномасштабной топографической основе гипсометрические профили располагались в соответствии с координатной сеткой: меридиональные — через 1° , широтные — через $20'$. Для математической обработки профилей последние были записаны в виде дискретных рядов чисел, представляющих собой абсолютные высоты, отстоящие друг от друга на расстоянии шага, равного $5'$. Такая величина шага выбрана с целью исключения влияния мелких морфоскульптурных элементов на строение гипсометрических профилей.

В качестве аппарата гармонического анализа использован метод обзора числовых совокупностей (Ханович и др., 1968). Метод обзора предусматривает расположение заданного набора чисел исследуемой совокупности a_1, a_2, a_3, \dots, a в таблицы, содержащие m столбцов и p полных строк ($mp \leq n$ — ближайшее к n целое число, m изменяется от 2 до $E(\frac{n}{2})$). Затем в полученных таблицах числа суммируются по столбцам и для суммарного ряда определяется величина

$$\frac{\Delta S}{2} = \frac{1}{2p} (S_{\max} - S_{\min}),$$

где S_{\max} и S_{\min} — наибольшее и наименьшее значения в полученном суммарном ряду с числом членов, равным m . Далее для всех m строится график $\frac{\Delta S}{2} = f(m)$, называемый периодограммой.

Дальнейший анализ приведенной зависимости осуществляется следующим образом. Согласно приемам обработки числовых рядов методом обзора числовых совокупностей, максимальные значения на периодограммах, очевидно, соответствуют таким моментам, когда число столбцов в очередной таблице совпадает с периодом гармоники, содержащейся в анализируемом ряду. Поэтому дальнейшие операции сводятся к отысканию этих гармоник по соответствующим максимумам на периодограммах. Далее по таблицам, построенным для найденных максимумов, определяются положения S_{\max} и S_{\min} в суммарном ряду и подсчитываются частоты их появления на тех или иных местах. Таким образом, выявленный по периодограмме спектр периодичностей получает определенную вероятностную оценку.

Применительно к анализу гипсометрических профилей метод обзора числовых совокупностей позволяет выявить периодичность в площадном распределении линейных морфоструктур, установить местоположение поднятий и опусканий различного порядка и приближенно оценить средние амплитуду и ширину волнобразных деформаций.

Периодограммы, построенные по каждому гипсометрическому профилю, приведены на рис. 1. Для устранения случайных отклонений $\Delta S/2$ от общей направленности связи $\Delta S/2$ и m и с целью облегчения поисков главных максимумов было произведено сглаживание периодограмм по методу смены знака (Миллер, Кан, 1965). Основанием для сглаживания является сложный характер процесса рельефообразования, заключающийся в наложении на тектонические формы рельефа различных случайных элементов морфоскульптуры.

На периодограммах как для широтных, так и для меридиональных профилей выделяется серия максимумов, указывающих на наличие в периодических кривых (гипсометрических профилях) гармоник с определенными длинами волн. Совместный анализ периодограмм позволяет установить, что выделенные гармоники присутствуют почти во всех гипсометрических профилях (рис. 1), а последующее нанесение осей поднятий и прогибов разных систем на координатную сетку (рис. 2) обнаруживает полную преемственность этих гармоник, то есть высокую степень корреляции между гипсометрическими профилями широтного и меридионального простираций. Этот фактический материал убеждает в

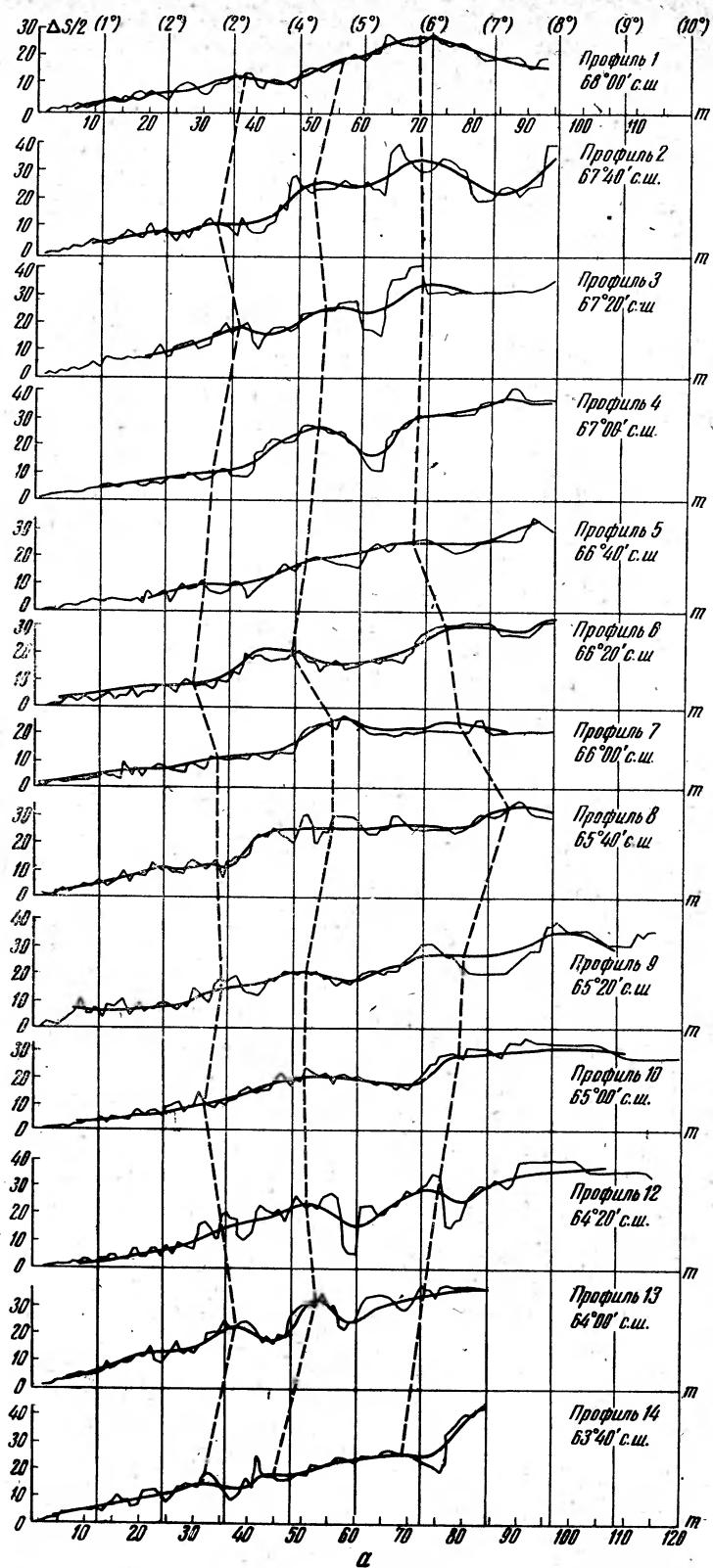
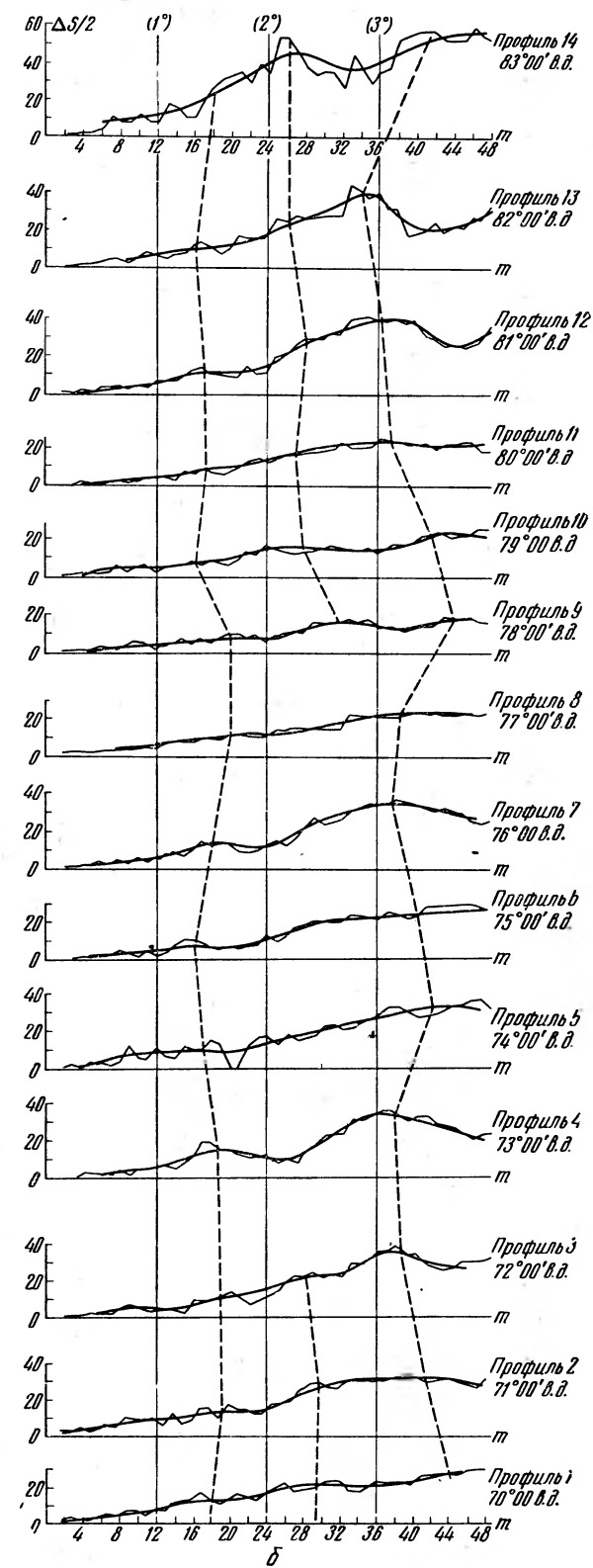


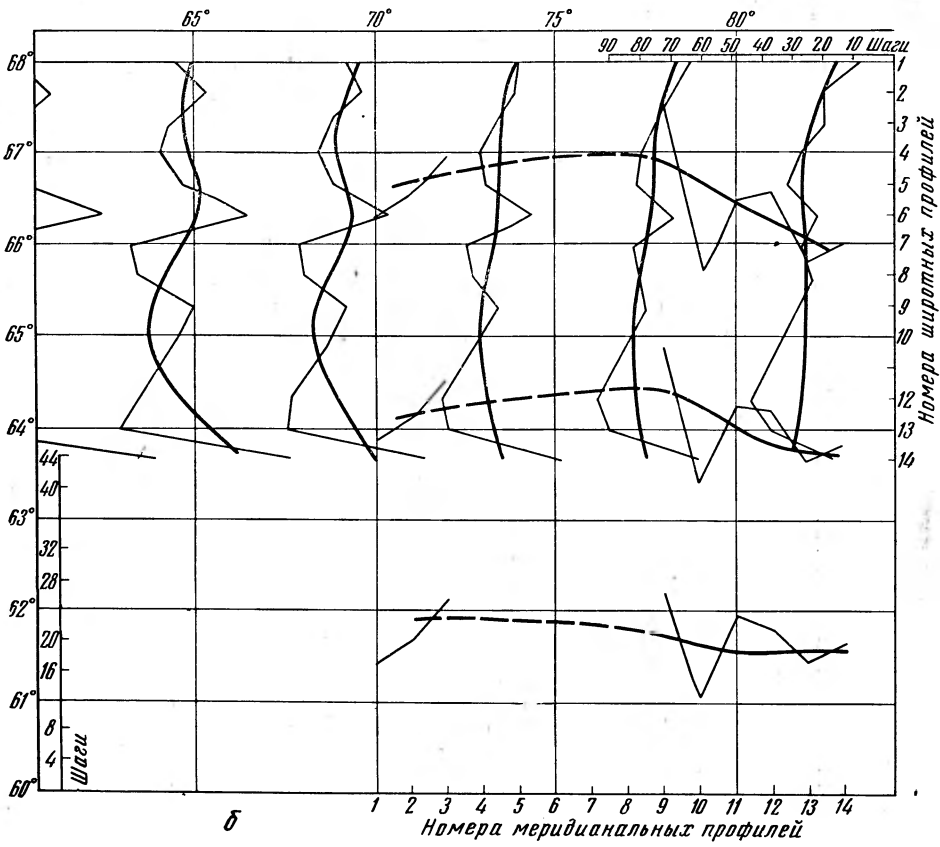
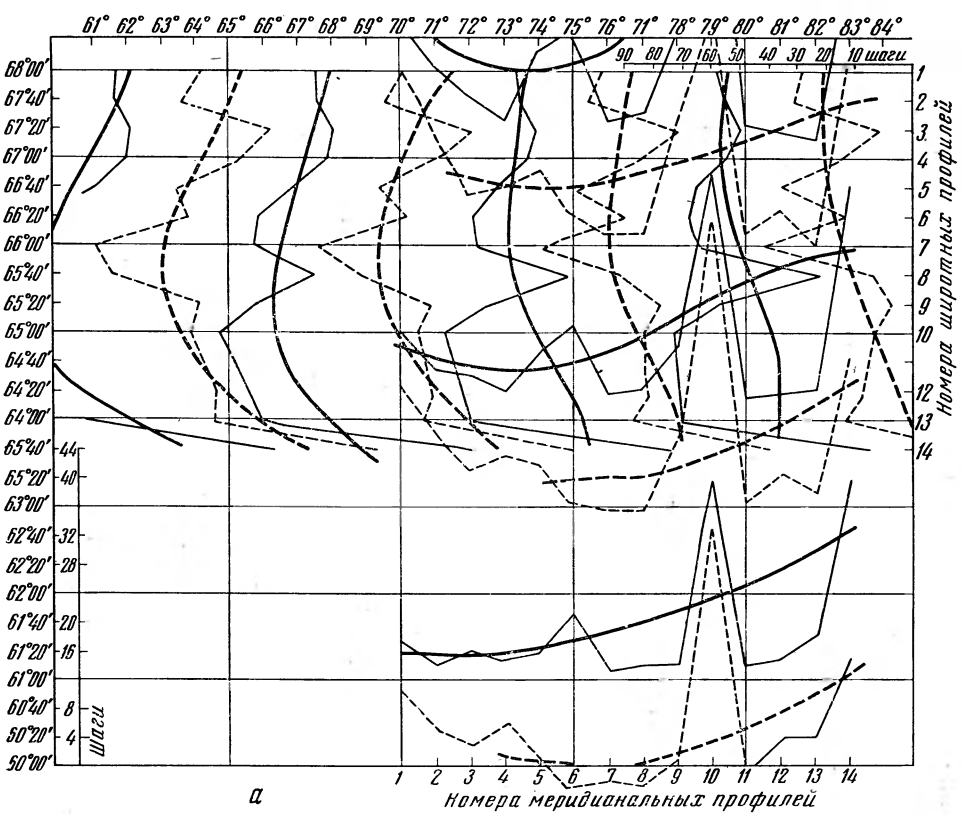
Рис. 1. Периодограммы по широтным (а) и меридиональным (б) гипсометрическим профиям

наличии волнообразных широтных и меридиональных деформаций, создающих (в результате взаимной интерференции) основные черты современной орогидрографии и определяющих, в частности, периодический характер строения гипсометрических профилей.

Гармоники, выделенные при анализе широтных профилей, характеризуют волнообразные деформации меридионального простираия и наоборот. Их периоды в переводе на градусную шкалу¹ представлены в табл. 1. Установленные гармоники, несмотря на относительно близкие значения их периодов, относятся к трем различным системам, что хорошо видно из корреляции максимумов на периодограммах (рис. 1). Обеспеченность или частость каждой гармоники в пределах различных гипсометрических профилей имеет разные величины (табл. 2, 3). Частость гармоник с самыми крупными периодами (для профилей двух направлений) составляет наиболее высокий процент (до 100%). Необходимо отметить, что корректность в определении обеспеченности гармоник снижается с увеличением их периодов в связи с ограниченной протяженностью гипсометрических профилей. Тем не менее, совместное рассмотрение всех про-



¹ Наиболее удобно ширину деформаций (длину волны или период гармоники) выражать в градусах координатной сетки, так как длина каждой волны меридионального простираия меняется в зависимости от географической широты (табл. 1).



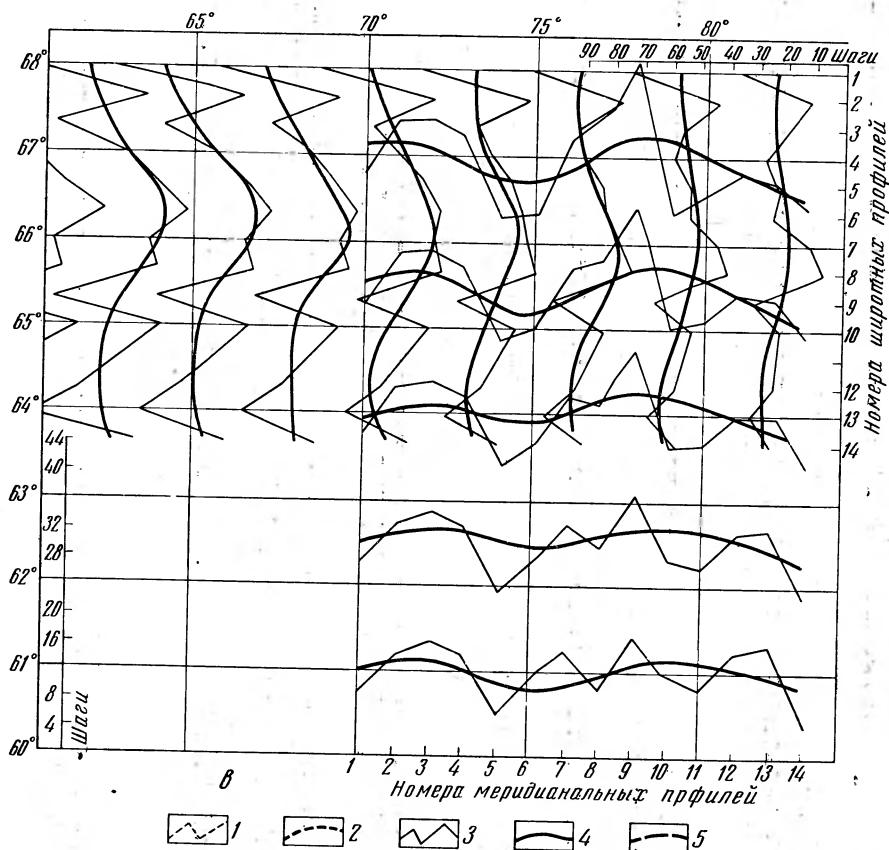


Рис. 2. Расположение осей волнообразных поднятий и прогибов первой (а), второй (б) и третьей (в) систем относительно координатной сетки.

1 — линия, соединяющая фактические максимумы на гипсометрических профилях; 2 — оси волнообразных поднятий (1, 2, 3 — только для первой системы); 3 — линия, соединяющая фактические минимумы на гипсометрических профилях (1, 2, 3 — только для первой системы); 4 — оси волнообразных прогибов; 5 — оси волнообразных прогибов, проведенные предположительно (для второй системы)

филей (как широтных, так и меридиональных) подтверждает достоверность их выделения.

В настоящее время при анализе рельефа платформенных областей выявлены волнообразные деформации шириной до 500—600 км и более (Мещеряков, 1965). Установленный нами спектр гармоник ограничен, с одной стороны, протяженностью гипсометрических профилей (рис. 2, 3), а с другой — величиной выбранного шага.

Исходя из длины и амплитуды волн можно сгруппировать их в определенные ортогональные системы. Так как один градус по меридиану равен отрезку длиной ~ 111 км, а для параллелей — отрезку, длина которого изменяется от 55,8 до 41,8 км (для широт 60—80°), возникает возможность объединить выделенные гармоники по их периоду в три ортогональные системы разного порядка (рис. 2, табл. 1). Деформации в каждой из выделенных систем характеризуются определенными значениями амплитуд, которые ориентировочно можно установить по величине ΔS .

Как показано на рис. 2 и 3, волнообразные деформации не являются прямолинейными. Их оси изгибаются в плане в зависимости от их удаленности от обрамлений плиты, а также, по-видимому, в результате взаимной интерференции. Оси меридиональных деформаций первой системы имеют уральское направление в западной части равнин,

к центру ее они становятся почти прямолинейными и затем в приенисейской части приобретают направление, параллельное границе Западно-Сибирской плиты с Сибирской платформой. Оси широтных волн в центральной части совпадают с параллелями, а ближе к Енисею приобретают северо-восточное направление. В отличие от меридиональных широтные волны строго параллельны друг другу, что указывает на менее тесную связь этих деформаций со структурным планом фундамента и мезозойско-палеогеновой толщи осадочного чехла.

Взаимное наложение волнобразных деформаций определило все главные особенности орогидографии региона, в том числе взаимную параллельность и перпендикулярность крупнейших долин и водоразделов. Размещение осей поднятий и прогибов первой системы объясняет чередование основных меридиональных и субмеридиональных водоразделов и речных долин. Самая западная ось (см. рис. 3) отражает простирание Полярного Урала, самого крупного на левобережье Оби водораздела Сыни и Северной Сосьвы и Белогорского материка. Соседняя ось объединяет меридиональный отрезок долины Оби с Байдарацкой губой. Следующая к востоку ось поднятия соответствует Обь-Надымскому водоразделу, продолжением которого к северу является полуостров Ямал; ось прогиба отвечает долине Надыма и Обской губе, следующая ось поднятия — Пур-Надымскому междуречью и Западно-Гыданской возвышенности. В центральной части Пур-Тазовского междуречья проходит ось прогиба, что объясняет его аномально низкое гипсометрическое положение (на 45—50 м ниже других водоразделов) и ряд палеогеографических особенностей. С осью поднятия, проходящего по правобережью Таза, связана асимметрия его долины и Таз-Енисейского междуречья. Широтные деформации также определяют основные особенности в орогидографии территории. Самая северная ось поднятия проходит по Щучинскому выступу, приподнятой части Тазовского полуострова и водоразделу Мессояха — Таз. Южнее расположена ось прогиба, к которому приурочены долины крупнейших притоков меридиональных рек (Куноват, Танлова, Часелька и Худосей). Далее на юг оси поднятия соответствуют Сибирские Увалы, а соседней оси прогиба — широтное колено Оби и долина Ваха.

Наложение на эту самую крупную систему волнобразных деформаций поднятий и прогибов второй и третьей систем, с одной стороны усложняет выявление связи между волновыми движениями и современным орогидографическим рисунком, а с другой — определяет важные его особенности, объяснения которых до сих пор не было в литературе. Речь идет, в частности, о Сибирских Увалах — главном водоразделе Западно-Сибирской равнины. Его значение в новейшей структуре, орогидографии и гипсометрии данной территории объясняется совпадением в пространстве осей волнобразных широтных поднятий всех трех выявленных систем со сложением их амплитуд. Для зоны долины Надыма — Обская губа, а также широтного колена Оби, урезы воды для которой отличаются очень небольшими величинами (18—35 км), и долины Ваха характерна такая же картина наложения осей прогибов близкого простирания. Многочисленные комбинации при наложении волнобразных деформаций разных систем и знака создают многообразие в орогидографическом рисунке и распределении высот на этой территории. Несоответствие в расположении зон с максимальными абсолютными отметками и водораздельных линий (в частности, для Пур-Тазовского и Таз-Енисейского междуречий) определяется приуроченностью последних к приосевым частям малоамплитудных поднятий.

Точки пересечения осей поднятий создают в рельфе своеобразные орографические узлы, которые характеризуются радиальным рисунком гидросети, максимальными абсолютными отметками, значительным эрозионным расчленением, резкими изменениями направлений водораздельных линий и огибающих их речных долин. Наиболее яркими при-

Характеристики деформаций разных ортогональных систем

Ортогональные системы	Деформации меридионального простирания			Деформации широтного простирания			
	ширина		средняя амплитуда, м	ширина		средняя амплитуда, м	
	град	км		град	км		
I	$5^{\circ}45' - 7^{\circ}20'$		304—408	61	$2^{\circ}50' - 3^{\circ}40'$	315—407	51
	$240 - 306$				$2^{\circ}10' - 2^{\circ}40'$	240—296	41
II	$3^{\circ}45' - 4^{\circ}40'$		209—250	43			
	$157 - 185$				$1^{\circ}20' - 1^{\circ}40'$	148—185	24
III	$2^{\circ}25' - 3^{\circ}05'$		135—179	27			
	$101 - 128$						

Примечания: 1 — приводится ширина деформаций для параллелей 60° и 68° с. ш.; 2 — под амплитудами в данном случае понимается разность между соседними экстремальными значениями $\Delta S = S_{\max} - S_{\min}$ по каждой из выделенных гармоник.

мерами их являются Белогорский материк и Верхне-Тазовский свод. При пересечении прогибов фиксируются гидографические узлы — участки с центростремительным характером гидросети, максимальным развитием низких геоморфологических уровней, сильной заболоченностью и заозеренностью. Таким образом, оценивая геоморфологическую роль волнобобразных движений, можно сказать, что они определили все особенности (ориентировку, чередование, гипсометрическое положение, ширину и асимметрию) основных орогидографических линий (водоразделов и речных долин) и узлов.

Структурообразующая роль волнобобразных движений заключается в создании линейно-вытянутых разноориентированных новейших прогибов и валов, а также изометрических структурных форм, образованных в местах пересечения положительных (своды, выступы) и отрицательных (впадины) разнонаправленных деформаций. Все они довольно отчетливо выражены в рельефе. Амплитуды новейших структур находятся в тесной зависимости от амплитуд деформаций разных систем и их взаимного положения.

Наиболее контрастные структуры (Сибирскоувальская гряда, Ханты-Мансийская впадина), образованные в результате интерференции осей разнопорядковых поднятий и прогибов, имеют амплитуды до 125 м. Максимальные значений амплитуды достигают на изометрических структурах, созданных путем пересечения разнонаправленных деформаций (Верхне-Тазовский свод и др.).

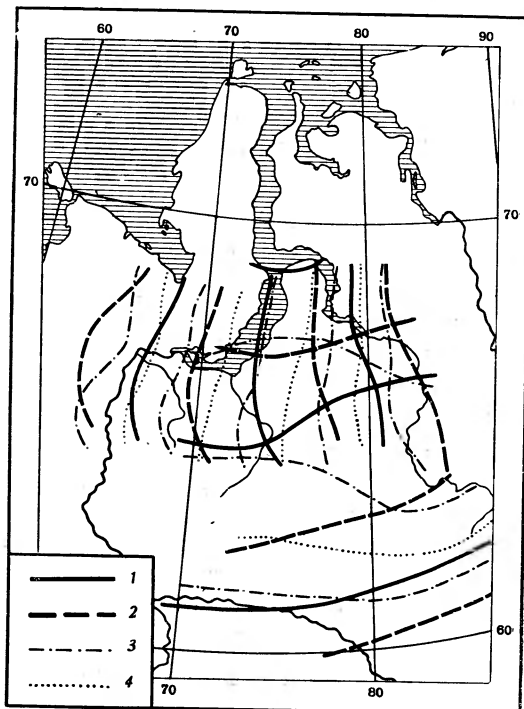


Рис. 3. Оси поднятий (2, 4) и прогибов (1, 3) первой (1, 2) и второй (3, 4) систем на северной половине Западно-Сибирской равнины (схематизировано)

Таблица 2

Результаты гармонического анализа широтных гипсометрических профилей

	I система			II система			III система			$\Delta S = S_{\max} - S_{\min}$	—	
	Homep hypoflora											
1	68°00'	70	59	28	100	9	58	100	20	8	100	38
2	67°40'	71	69	31	100	9	55	100	13	24	100	44
3	67°20'	71	89	1	100	9	50	100	50	13	20	37
4	67°00'	70	67	15	100	9	54	100	58	13	28	51
5	66°40'	70	59	36	100	9	65	100	50	17	32	55
6	66°20'	76	69	14	100	9	67	100	47	54	100	35
7	66°00'	78	59	41	100	19	64	100	40	55	100	46
8	65°40'	88	74	4	100	9	21	100	65	55	100	24
9	65°20'	80	113	77	100	26	57	100	87	50	100	35
10	65°00'	79	83	4	100	27	73	100	56	50	100	36
11	64°20'	75	103	7	100	33	71	100	70	51	100	45
12	64°00'	73	100	14	100	27	70	100	53	105	14	37
13	63°40'	69	105	30	100	55	45	100	50	95	75	32
14										75	60	16
Среднее значение		75	—	—	100	—	—	100	61	51	—	—
									81	—	86	43
									—	—	—	70
										—	—	—
										—	—	61
										27		

Примечание. Отсчет шагов ведется с востока на запад от меридиана 84°.

Таблица 3

Результаты гармонического анализа меридиональных гипсометрических профилей

Номер профиля	Геоморфологическая подгруппа	I система										II система										III система									
		3 шаги max	3 шаги min	Метро марк-марка	% шагов	3 шаги max	3 шаги min	Метро марк-марка	% шагов	3 шаги max	3 шаги min	Метро марк-марка	% шагов	3 шаги max	3 шаги min	Метро марк-марка	% шагов	3 шаги max	3 шаги min	Метро марк-марка	% шагов										
1	70°00'	43	90	10	50	35	17	100	55	52	29	81	26	67	43	17	100	38	18	79	2	100	53	9	80	26					
2	71°00'	44	90	5	100	38	14	80	52	43	28	98	5	100	40	20	67	30	18	64	3	80	47	14	80	25					
3	72°00'	38	79	3	100	36	16	67	43	58	—	—	—	—	—	—	—	—	—	39	14	16	14	80	17						
4	73°00'	37	88	6	100	30	15	67	58	52	—	—	—	—	—	—	—	—	—	100	39	14	14	80	29						
5	74°00'	41	92	1	100	40	16	67	67	52	—	—	—	—	—	—	—	—	—	12	20	44	6	40	27						
6	75°00'	40	99	37	100	42	21	100	57	57	—	—	—	—	—	—	—	—	—	81	4	83	11	83	24						
7	76°00'	38	105	36	100	43	13	100	62	62	—	—	—	—	—	—	—	—	—	100	4	100	1	100	33						
8	77°00'	38	94	36	100	40	14	67	54	54	—	—	—	—	—	—	—	—	—	80	18	87	18	100	63						
9	78°00'	44	70	1	50	40	14	100	30	30	—	—	—	—	—	—	—	—	—	72	1	100	60	42	17						
10	79°00'	42	95	33	50	60	40	100	35	35	32	73	1	100	40	27	67	33	20	60	1	60	67	17	60	18					
11	80°00'	37	109	36	67	44	14	100	65	65	27	86	11	67	58	24	67	29	17	77	4	80	64	10	40	15					
12	81°00'	36	103	4	67	42	15	67	61	61	28	98	10	100	48	22	67	50	17	86	7	84	63	15	100	23					
13	82°00'	34	100	4	67	46	18	67	54	54	26	80	3	100	43	18	100	37	16	84	7	84	60	16	100	24					
14	83°00'	41	135	15	100	38	40	67	97	97	26	134	4	100	62	20	67	72	18	112	15	84	72	5	100	40					
Средние значения		39	—	—	81	—	—	81	51	28	—	—	86	—	—	86	—	—	73	44	18	—	—	81	—	—	71	24			

Примечание. Отсчет шагов ведется с юга на север от параллели 60°.

ЛИТЕРАТУРА

- А ф а н а с ь е в Б. А. Неотектоника Печорского угольного бассейна и прилегающих районов Северного Приуралья.—В кн.: Материалы по геологии и полезным ископаемым Северо-Востока Европейской части СССР, вып. 1. М., Госгеолтехиздат, 1961.
- Г н и л о в с к и й В. Г. К вопросу о формировании речной сети равнинного Предкавказья.—В кн.: Материалы по геоморфологии и палеогеоморфологии СССР, Тр. Ин-та географии АН СССР, М., 1956.
- Г о р е л ю в С. К. Главнейшие элементы морфоструктуры юго-востока Русской равнины и их значение для характеристики нефтегазоносных структур.—В кн.: Геоморфологические методы при нефтегазописковых работах, Тр. ВНИГНИ, 1966, вып. LIV.
- К а р п и н с к и й А. П. Очерки геологического прошлого Европейской России. М., Изд-во АН СССР, 1947.
- К у з и н И. Л., Ч о ч и а Н. Г. Проблема оледенений Западно-Сибирской низменности.—В кн.: Основные проблемы изучения четвертичного периода, М., 1965.
- Л а м а к и н В. В. Современное поднятие земной поверхности на Средней Печоре.—Изв. АН СССР, Сер. геол., 1945, № 4.
- М е щ е р я к о в Ю. А. Морфоструктура Западно-Сибирской равнины.—Изв. АН СССР. Сер. географ., 1962, № 3.
- М е щ е р я к о в Ю. А. Структурная геоморфология равнинных стран. М., «Наука», 1965.
- М и л л е р Р. А., К а н Д ж. С. Статистический анализ в геологических науках. М., «Мир», 1965.
- С а к с В. Н. Четвертичный период в Советской Арктике.—Тр. НИИГА, 1953, т. 77.
- Т р о ю ц ы В. Я. Методика структурно-геоморфологических исследований аккумулятивных равнин при нефтегазописковых работах. М., «Наука», 1967.
- Х а и н В. Е. Общая геотектоника. М., Недра, 1964.
- Х а н о в и ч И. Г., Я н о в с к и й Г. Г., А и н е м е р А. И., К о н и с с к а я Н. А. Метод обзора числовых совокупностей для изучения строения разрезов осадочных толщ.—В кн.: Математические методы в геологии. Тр. ВСЕГЕИ, Л., 1968, вып. 150.
- Э в е н т о в Л. С., П р о н и ч е в а М. В. Новейшая тектоника Прикаспийской впадины и ее значение для поисков нефти.—В кн.: Тектонические движения и новейшие структуры земной коры. М., «Недра», 1967.

ВНИГРИ
Ленинградский горный
институт

Поступила в редакцию
17.VII.1969

A HARMONIC ANALYSIS OF HYPSEOMETRIC PROFILES FOR DEFINING UNDULATING DEFORMATIONS

A. N. L A S T O C H K I N and I. A. O D E S S K Y

Summary

An original technique of defining undulating deformations of the Earth's crust is considered, illustrated by the territory of the West Siberian Plain. Meridional and latitudinal undulating deformations of different lengths and amplitudes have been defined. All the main features of the West-Siberian orohydrography are conditioned by the overlapping of undulating deformations.